



# 炭素鋼の柱状オーステナイト結晶粒に及ぼすチタンとホウ素添加の影響

佐々木 優嘉\*・松浦 清隆\*\*・大笛 憲一\*\*・大野 宗一\*\*

Effects of Addition of Titanium and Boron on Columnar Austenite Grain in Carbon Steel  
Masayoshi SASAKI, Kiyotaka MATSUURA, Kenichi OHSASA and Munekazu OHNO

**Synopsis :** We performed casting experiment of S45C steel, focusing on the effect of addition of Ti and B on as-cast austenite grain structure. Without the addition of these elements, the austenite structure consists of columnar grains over the whole sample in the present casting conditions. The addition of Ti and B leads to the formation of equiaxed austenite grains and, importantly, fully equiaxed austenite structure was observed in the sample with 0.2 mol% Ti and 0.4 mol % B. The microstructural observations indicated that this behavior of austenite structure stems from the columnar-to-equiaxed transition of ferrite dendrite structure. The addition of these elements, furthermore, leads to refinement of the columnar austenite grains.

**Key words:** carbon steel; solidification; austenite structure; grain refinement; dendrite structure.

## 1. 緒言

炭素鋼のオーステナイト( $\gamma$ )結晶粒径は連続鋳造時の表面割れ頻度や、熱間圧延時の塑性変形挙動に影響を及ぼす。オーステナイト温度域における連鉄スラブの表面割れは、表面から内部に向かって発達した粗大な柱状 $\gamma$ 粒の粒界に沿って伝搬する<sup>1)</sup>。これは $\gamma$ 域および $\alpha+\gamma$ 域における延性的の低下によるものであり、 $\gamma$ 結晶粒の組織制御の重要性が示されている<sup>2)</sup>。

著者らはS45C鋼の凝固 $\gamma$ 組織に対するチタンとホウ素の影響を調査し、0.02°C/sの冷却速度下では両元素の添加により $\gamma$ 結晶粒が微細化されることを前報で示した<sup>3)</sup>。 $\gamma$ 結晶粒はデンドライトの二次アーム間隔程度のサイズまで微細化され、これはデンドライト樹間に存在するチタンやホウ素を含む粒子が $\gamma$ 粒成長を抑制しているためであると議論した。そこで、冷却速度を大きくし、デンドライト二次アーム間隔を小さくすることで、 $\gamma$ 結晶粒はさらに微細化されることを報告した。しかしながら、これらは比較的遅い冷却速度で形成した等軸 $\gamma$ 結晶粒組織に対して得られた知見である。上記の柱状 $\gamma$ 組織に対しても同様の微細化効果が得られるかは検討を要する。

柱状 $\gamma$ 結晶粒の成因として、オーステナイト生成前線における温度勾配が支配的であり、冷却速度の増加と共にその勾配が大きくなるために柱状 $\gamma$ 粒が発達する傾向が強くなることが示されている<sup>4)</sup>。そこで本研究では、柱状 $\gamma$ 粒が形成する冷却速度域を対象として、柱状 $\gamma$ 組織に対する

チタンとホウ素の影響を調査した。特に、 $\gamma$ 結晶粒組織とデンドライト組織の相関を調べ、その効果について検討を行った。

## 2. 実験方法

Table 1に示す化学組成を持つ市販のS45C鋼の丸棒を溶解用母材として用いた。S45C鋼丸棒の直径は20 mmであり、約320 gとなるように秤量した。鋼中で微細な TiB<sub>2</sub>粒子を分散させることを狙い、粒状のスポンジチタンおよび粉末アモルファスボロンを組成範囲が0から0.2 mol% TiB<sub>2</sub>となるようにモル比1:2で秤量した。また、デンドライト組織を顕出するために微量の磷を添加し、鋼中磷濃度は0.02 wt% Pとした。

これら秤量した原材料を内径30 mm、深さ90 mmの円筒状アルミナ坩堝中で溶解した。溶解には縦型SiC炉を用い、Ar雰囲気中にて1550°Cで1時間保持した後、以下に示す2つの方法で鋳込みを行った。

### (1) 800°Cに加熱したアルミナ坩堝への鋳込み

上記の溶解用坩堝と同じ寸法および材質のアルミナ坩堝を800°Cに加熱した別の電気炉内で1時間以上保持し、鋳

Table 1. Chemical composition of commercial S45C steel rod employed in this study (wt%).

	C	N	Si	Mn	P	S	Al	O
S45C	0.45	0.0037	0.28	0.78	0.014	0.018	0.002	0.0114

平成20年3月17日受付 平成20年5月12日受理 (Received on Mar. 17, 2008; Accepted on May 12, 2008)

\* 北海道大学大学院生（現：住友金属工業（株））(Graduate Student, Hokkaido University, now Sumitomo Metal Industries, Ltd., 1850 Minato Wakayama 640-8555)

\*\* 北海道大学大学院工学研究科(Graduate School of Engineering, Hokkaido University)

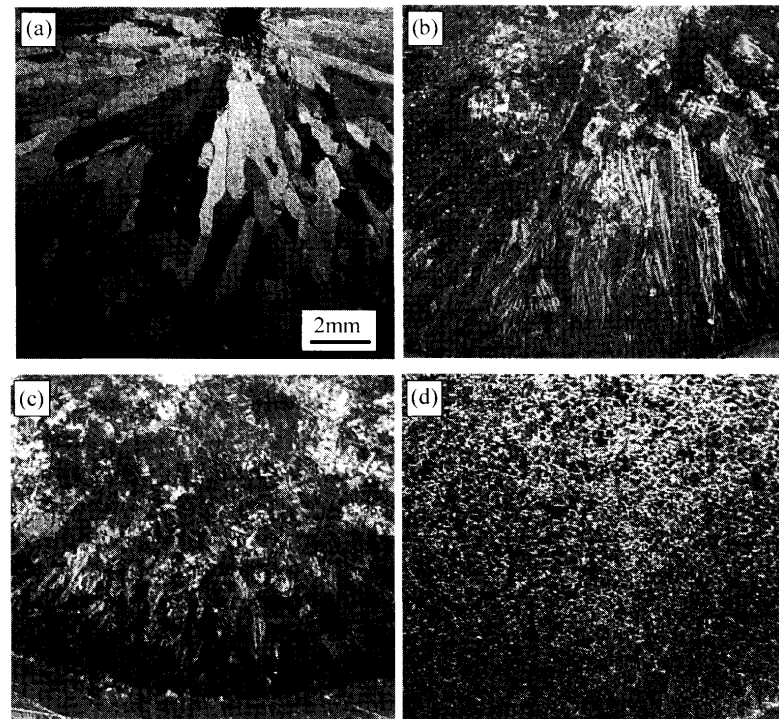


Fig. 1. Austenite grain structures cooled at  $R=4.50^{\circ}\text{C}/\text{s}$ , (a) without addition of Ti and B, (b) with 0.02 mol% Ti and 0.04 mol% B, (c) with 0.1 mol% Ti and 0.2 mol% B, and (d) with 0.2 mol% Ti and 0.4 mol% B.

込む直前に取り出して耐火煉瓦の上に置いた。そして、溶融した試料をSiC炉から速やかに取り出し、その加熱した坩堝へ鋳湯した。鋳湯後、即座にB型熱電対を試料の高さ方向および円の中心位置に差し込み温度測定を行った。高温における $\gamma$ 結晶粒組織を凍結させるために、試料中心部の温度が1100°Cに達したとき、試料を強攪拌された冷水中に急冷した。

#### (2) ステンレス製鋳型への鋳込み

試料を溶融状態のまま取り出し、室温に保持したステンレス製鋳型へ鋳込んだ。鋳型の深さは100 mm、内径は溶解用の坩堝と同様に30 mmである。鋳型の側面からB型熱電対を差し込み試料中心部の温度を測定した。(1)の方法と同様に、試料中心部の温度が1100°Cに達したところで水中急冷を施した。

上記の2つの鋳込み方法における冷却曲線より、 $\gamma$ 単相化温度 $T_\gamma$ を読み取り $T_\gamma$ から100°C低下する間の平均の冷却速度を各鋳込み方法における冷却速度とした。(1)と(2)の鋳込み方法における冷却速度 $R$ はそれぞれ $R=4.50^{\circ}\text{C}/\text{s}$ および $R=16.67^{\circ}\text{C}/\text{s}$ となった。それぞれのインゴットは直径約30 mm、高さ約80 mmの円柱であり、その高さ中心の水平断面を組織観察面とした。 $\gamma$ 結晶粒のサイズは、円柱インゴットの半径方向の長さを長径 $d_1$ 、それと直交する円周方向の長さを短径 $d_2$ として評価した。

### 3. 結果と考察

Fig. 1に冷却速度 $R=4.50^{\circ}\text{C}/\text{s}$ で冷却した試料の $\gamma$ 結晶粒

組織を示す。チタンとホウ素を添加していない場合(Fig. 1(a))、 $\gamma$ 結晶粒は鋳壁から試料中心へと半径方向内向きに長く伸びた柱状粒となっており、試料の中心まで柱状 $\gamma$ 結晶粒が形成している。これに対して、チタンとホウ素を添加した場合には、試料中心部に等軸 $\gamma$ 結晶粒が観察され、特に、チタンを0.2 mol%、ホウ素を0.4 mol%添加した場合(Fig. 1(d))には試料断面のほぼ全面が等軸粒となっていた。つまり、チタンとホウ素の添加によって $\gamma$ 結晶粒組織が等軸化することが示された。

デンドライト組織に関しても、 $\gamma$ 結晶粒組織と同様に元素の添加に伴って柱状晶から等軸晶への遷移(Columnar-to-Equiaxed Transition, CET)が見られた。Fig. 2に $R=4.50^{\circ}\text{C}/\text{s}$ の試料の同一位置におけるデンドライト組織と $\gamma$ 結晶粒組織を示す。 $\gamma$ 結晶粒組織において柱状粒から等軸粒へ遷移する位置はデンドライト組織のそれとほぼ一致した。 $R=16.67^{\circ}\text{C}/\text{s}$ の試料においても、デンドライト組織の遷移位置と $\gamma$ 組織の等軸化の位置はほぼ対応していた。一方で、 $R=2.25^{\circ}\text{C}/\text{s}$ では、温度勾配が大きな鋳壁近傍で一部柱状デンドライトが観察されるが、 $\gamma$ 粒の柱状化は生じないことを前報で示した<sup>3)</sup>。これは、柱状 $\gamma$ 結晶粒の成因が、デンドライト組織の形態よりもむしろ $\gamma$ 粒成長時の温度勾配にあるという報告<sup>4)</sup>と矛盾しないものであった。これに対して、本実験の $4.50^{\circ}\text{C}/\text{s}$ 及び $16.67^{\circ}\text{C}/\text{s}$ においては、チタンとホウ素を添加した試料の柱状デンドライト領域と柱状 $\gamma$ 結晶粒領域の割合はほぼ合致した。そこで、デンドライト組織に対するチタンとホウ素添加の影響をより詳しく調査した。

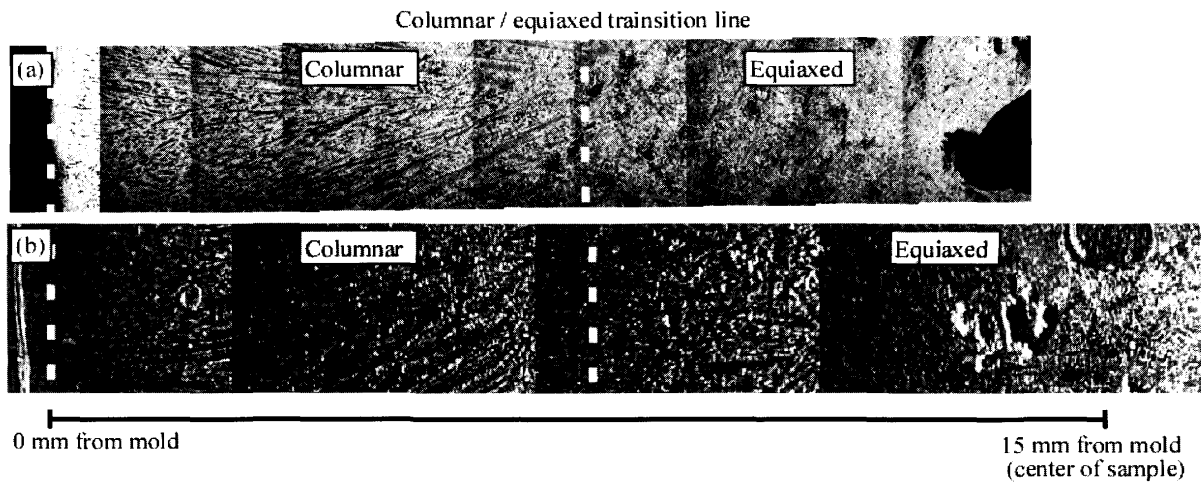


Fig. 2. Comparison between dendrite and austenite grain structures cooled at  $R=4.50^{\circ}\text{C}/\text{s}$ . The columnar to equiaxed transition region is indicated by dashed line. (a) Dendrite structure, (b) austenite grain structure.

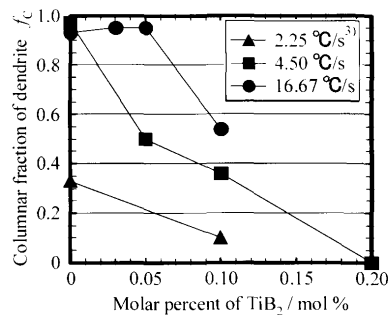


Fig. 3. Effect of addition of Ti and B on fraction of columnar dendrite.

柱状デンドライトが半径方向内向きに発達している領域の長さを求め、それを半径長さ(15 mm)で除したものを柱状割合 $f_c$ とし、柱状割合に及ぼすチタンとホウ素の添加量の影響をFig. 3に示した。前報<sup>3)</sup>で報告した $2.25^{\circ}\text{C}/\text{s}$ の結果も示している。 $R=4.50^{\circ}\text{C}/\text{s}$ 及び $16.67^{\circ}\text{C}/\text{s}$ のとき、元素を添加していない試料は、ほぼ全面が柱状デンドライトであるが、チタンとホウ素の添加によって柱状割合が減少し、デンドライトが等軸化する傾向が見られる。 $R=4.50^{\circ}\text{C}/\text{s}$ および $16.67^{\circ}\text{C}/\text{s}$ の場合を比較すると後者の方が柱状割合は大きい。これは、 $16.67^{\circ}\text{C}/\text{s}$ の凝固過程では大きな温度勾配が生じ、デンドライトを柱状化させる傾向が強くなっていたため<sup>5)</sup>であると考えられる。また、 $R=2.25^{\circ}\text{C}/\text{s}$ の時にも、チタンとホウ素の添加によって柱状割合は減少している。既に述べたように、これらの試料の $\gamma$ 組織は全面等軸粒である。これはデンドライト成長時に比べ、 $\gamma$ 粒成長時の温度勾配が小さく、 $2.25^{\circ}\text{C}/\text{s}$ の冷却速度下では等軸 $\gamma$ 粒が形成される条件<sup>4)</sup>が満足されているためであると考えられる。

チタンおよびホウ素添加に伴うデンドライトの等軸化は、溶質元素の濃化に伴う組成的過冷卻領域の拡大や、等軸デンドライトの核生成サイトとなる物質が形成されたことによると予想される。後に示すように、両元素を添加し

た試料には $\text{Ti}(\text{C}, \text{N})$ およびBNの粒子が観察された。このうち前者は、 $\delta$ 相と格子整合性がよく、 $\delta$ 相の核発生サイトとして働くことが知られている<sup>6)</sup>。特に、フェライト系ステンレス鋼の溶接凝固の研究<sup>7)</sup>において、溶鋼中の $\text{Ti}(\text{C}, \text{N})$ が $\delta$ 凝固組織のCETを引き起こすことが報告されている。したがって、本実験におけるデンドライト組織の等軸化は、 $\text{Ti}(\text{C}, \text{N})$ 粒子が関与しているものと考えられる。既に述べたように、デンドライト組織が等軸化しても、必ずしも $\gamma$ 組織が等軸化するわけではなく、 $\gamma$ 粒成長時の温度勾配が支配因子である。具体的には、 $\gamma$ 粒成長時の温度勾配が $2.5\text{K}/\text{mm}$ 以上の時には柱状 $\gamma$ 粒、 $2.5\text{K}/\text{mm}$ 以下の時には等軸 $\gamma$ 粒組織が形成することが示されている<sup>4)</sup>。一方において、本実験では $\gamma$ 組織の等軸化とデンドライト組織の等軸化の間に強い相関が見られた。デンドライト組織の等軸化に伴って、その不連続的潜熱発生によりオーステナイト生成前線における温度勾配が変化し、その結果として等軸 $\gamma$ 粒が形成する条件が満足された可能性も考えられる。本実験では、温度測定による凝固過程への影響を最小限にするために、試料中心部のみに熱電対を挿入し、その一点のみの温度測定を行った。したがって、ここでは温度勾配と $\gamma$ 粒組織の等軸化との相関に関して議論することはできない。この点については、詳細な凝固・熱伝導シミュレーションによる調査が今後必要である。一方、前報で述べたように<sup>3)</sup>、チタンとホウ素の添加により、等軸デンドライト周囲に $\gamma$ 成長のピン止め粒子が生じる。したがって、柱状 $\gamma$ 結晶粒が成長する先に、等軸化したデンドライトが存在すると、その等軸デンドライト周囲のピン止め粒子によって柱状 $\gamma$ 粒の成長が妨げられ、等軸粒の核発生により、 $\gamma$ 成長が進行することも考えられる。

続いて、柱状 $\gamma$ 結晶粒の粒径変化について議論する。Fig. 4に冷却速度 $4.50^{\circ}\text{C}/\text{s}$ 及び $16.67^{\circ}\text{C}/\text{s}$ で冷却した試料の柱状 $\gamma$ 結晶粒領域の組織を示した。チタンとホウ素の添加によって柱状粒が微細化されていることが明らかである。

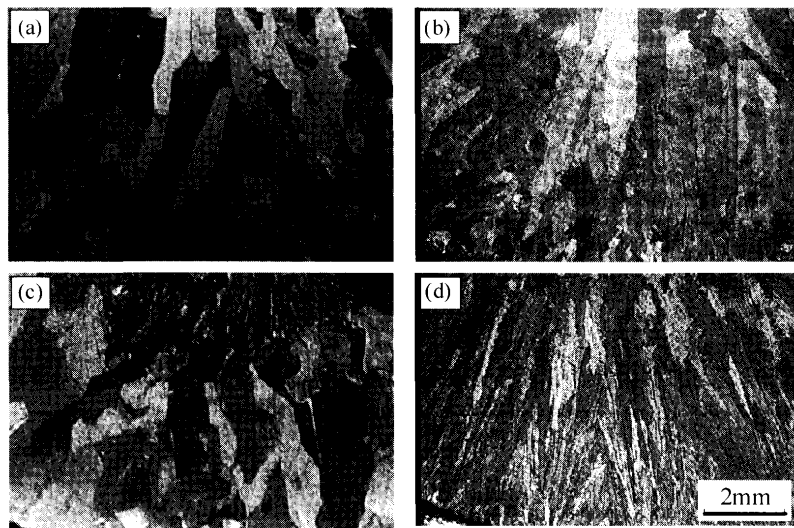


Fig. 4. Columnar austenite grain structures (a) without addition of Ti and B at  $R=4.50^{\circ}\text{C}/\text{s}$ , (b) 0.1 mol% Ti and 0.2 mol% B at  $R=4.50^{\circ}\text{C}/\text{s}$ , (c) without addition of Ti and B at  $R=16.67^{\circ}\text{C}/\text{s}$ , and (d) 0.1 mol% Ti and 0.2 mol% B at  $R=16.67^{\circ}\text{C}/\text{s}$ .

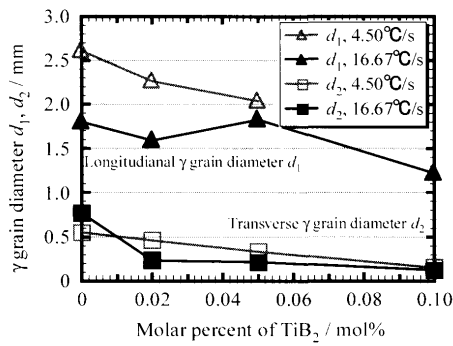


Fig. 5. Effect of addition of Ti and B on longitudinal and transverse diameters of columnar austenite grain.

各冷却速度における柱状 $\gamma$ 結晶粒の長径 $d_1$ と短径 $d_2$ に及ぼすチタンとホウ素添加の影響をFig. 5に示す。いずれの冷却速度においても、長径および短径は、チタンとホウ素の添加と共に減少している。また、冷却速度が速いほど長径及び短径は小さい。

この粒径の変化について考察するために、Fig. 6に試料の同一位置における柱状デンドライトと柱状 $\gamma$ 粒組織を示す。チタンとホウ素の添加が無い場合には((a), (b))、1つの $\gamma$ 結晶粒は同一方向に成長したいくつかのデンドライトを含むように成長している。これに対し、チタンとホウ素を添加した場合には1つのデンドライトと1つの柱状 $\gamma$ 結晶粒がほぼ1対1で対応している。また、デンドライトの主軸間にはFig. 7に示したように介在物粒子が存在しており、これらの粒子によって $\gamma$ 結晶粒界はピン止めされたものと考えられる。これらの粒子に対してEDSによる分析を行った結果、本研究で当初目的としていた $\text{TiB}_2$ 粒子は確認されず、これらの粒子は $\text{Ti}(\text{C}, \text{N})$ やBNであることが確認された。続いて、チタンを0.1 mol%、ホウ素を0.2 mol%添加した試料におけるデンドライトの一次アーム間

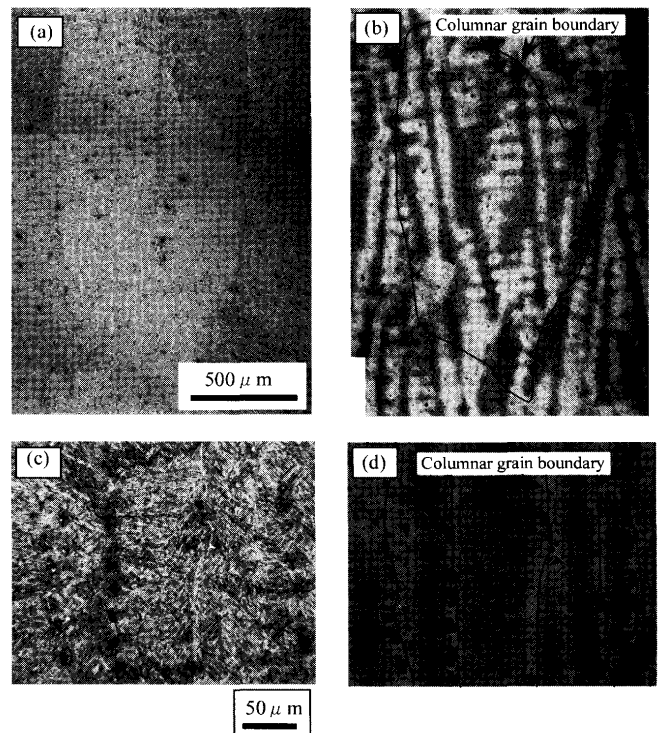


Fig. 6. Comparison between austenite ((a) and (c)) and dendrite ((b) and (d)) structures at same position at  $R=16.67^{\circ}\text{C}/\text{s}$ . (a) and (b): without addition of Ti and B. (c) and (d): with addition of 0.1 mol% Ti and 0.2 mol% B.

隔の冷却速度依存性をFig. 8に示す。一次アームは冷却速度の逆数の平方根または凝固時間の平方根に比例する<sup>8-11)</sup>ことから、冷却速度が大きくなるほど一次アーム間隔は減少している。Fig. 8には、同一試料の柱状 $\gamma$ 結晶粒の短径 $d_2$ もプロットしている。一次アーム間隔が減少すると共に、柱状粒の短径が減少していることが分かる。但し、1つの柱状 $\gamma$ 結晶粒が1つ柱状デンドライトと完全に対応しているわけではなく、 $d_2$ よりも $\lambda_1$ の方がやや大きくなっている

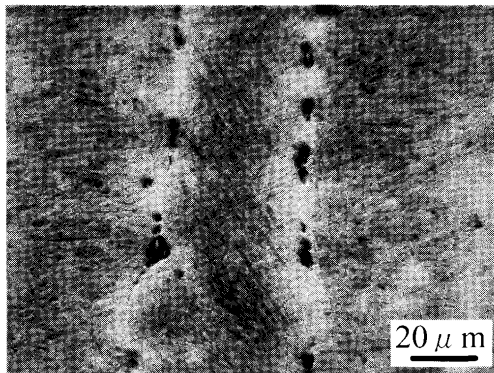


Fig. 7. Pinning particles existing between primary dendrite arms in the sample cooled at  $R=16.67^{\circ}\text{C/s}$ .

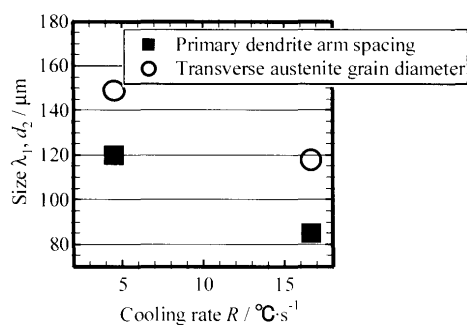


Fig. 8. Effect of cooling rate on primary dendrite arm spacing and transverse diameter of columnar austenite grain in the sample with 0.1 mol% Ti and 0.2 mol% B.

る。

以上の一連の結果より、チタンとホウ素の添加による $\gamma$ 結晶粒の成長抑制効果について、次のように考察した。その模式図をFig. 9に示す。チタンとホウ素の添加により、柱状 $\delta$ -デンドライト成長端の前方領域で等軸デンドライトの核生成が促進され、 $\delta$ 凝固のCETが生じる。これにより、 $\gamma$ 生成前線での温度勾配が $\gamma$ 等軸化の条件を満足するようにならざるを得ない。あるいは、柱状及び等軸デンドライトの周囲およびアーム間にTi(C,N)やBNといった粒子が存在し、 $\gamma$ 粒の等軸化をもたらす。そして、それらの粒子が $\gamma$ 粒成長を抑制する。したがって、 $\gamma$ 粒組織とデンドライト組織は強い相関を有することになる。実際、冷却速度を増加させ、デンドライト組織のサイズを減少させることで、 $\gamma$ 粒を更に微細化しうることが示された。連続鋳造時における表面割れ深さは粗大柱状 $\gamma$ 粒の最大長径に依存するとされており<sup>12)</sup>、この実験で得られた結果は表面割れの抑制に有効であると考えられる。

#### 4. 結論

柱状 $\gamma$ 結晶粒が形成されるような二種類の冷却速度 $R=4.50, 16.67^{\circ}\text{C/s}$ において、チタンとホウ素の添加がデン

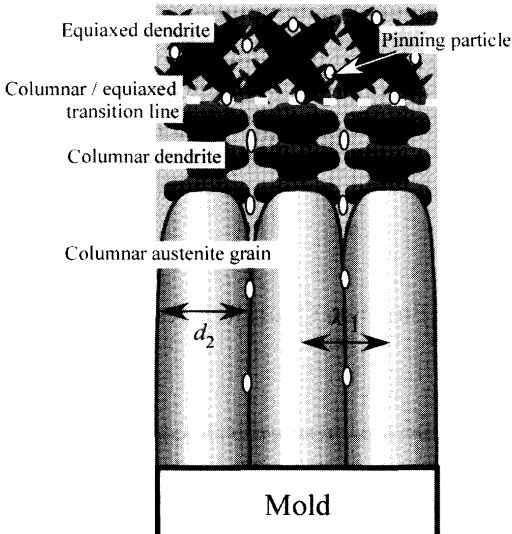


Fig. 9. Schematic picture of effect of Ti and B on solidification process.

ドライト組織及び $\gamma$ 結晶粒組織に与える影響について調査し、以下の結論を得た。

(1) S45C鋼の $\gamma$ 結晶粒は、いずれの冷却速度においても、内径30 mmの円筒形坩埚内で全面が柱状粒となる。

(2) チタンとホウ素の添加によって、柱状 $\gamma$ 粒および柱状デンドライトの割合は減少する。柱状 $\gamma$ 粒から等軸 $\gamma$ 粒へ遷移する位置は、デンドライトの柱状晶-等軸晶遷移が生じた位置とほぼ一致する。

(3) チタン0.2 mol%，ホウ素0.4 mol%添加することで、試料全面で $\gamma$ 粒が等軸化する。

(4) チタンとホウ素の添加により柱状 $\gamma$ 結晶粒の長径及び短径ともに減少する。

(5) 冷却速度の増加によってデンドライトの主軸間隔は小さくなり、それに伴い柱状 $\gamma$ 結晶粒の短径はさらに減少する。

#### 文 献

- 1) L.Schmidt and A.Josefsson: *Scand. J. Metall.*, **3** (1974), 193.
- 2) Y.Maebara, K.Yasumoto, Y.Sugitani and K.Gunji: *Tetsu-to-Hagané*, **70** (1984), S904.
- 3) M.Sasaki, K.Matsuura and K.Ohsasa: *ISIJ Int.*, **48** (2008), 340.
- 4) K.Matsuura, Y.Itoh and K.Matsubara: *Tetsu-to-Hagané*, **76** (1990), 71.
- 5) H.Fredriksson and J.Stjerndahl: *Met. Sci.*, **16** (1982), 575.
- 6) B.L.Bramfitt: *Metall. Mater. Trans.*, **1** (1970), 1987.
- 7) T.Koseki and H.Inoue: *J. Jpn. Inst. Met.*, **65** (2001), 644.
- 8) M.C.Flemings: *Mod. Cast.*, **46** (1964), 353.
- 9) T.Z.Kattamis and M.C.Flemings: *Trans. Met. Soc. AIME*, **236** (1966), 1523.
- 10) M.C.Flemings, R.V.Barone and H.D.Brody: MIT Interim Report, Contract No. DA-19-020-AMC-5443, (1976).
- 11) M.C.Flemings, D.R.Poirier, R.V.Barone and H.D.Brody: *J. Iron Steel Inst.*, **208** (1970), 37.
- 12) Y.Maebara, K.Yasumoto, Y.Sugitani and K.Gunji: *Tetsu-to-Hagané*, **71** (1985), 1534.